

$^{176}\text{Yb}(\text{p},\text{n}\gamma)$     **1991Le28**

Type	Author	History	Literature Cutoff Date
Full Evaluation	M. S. Basunia	NDS 107, 791 (2006)	15-Sep-2005

Target: 97.04% enriched  $^{176}\text{Yb}$ . Reaction:  $^{176}\text{Yb}(\text{p},\text{n}\gamma)$ , E=8 MeV. Measured  $E_\gamma$ ,  $I_\gamma$ ,  $\gamma\gamma$  coin. Detectors: the High Energy Resolution Array (HERA) of 21 Compton-suppressed germanium detectors. FWHM=2.32 keV at 838.5 keV.

 $^{176}\text{Lu}$  Levels

This level scheme shows  $\gamma$ -ray populations from an 838.5 level to both  $^{176}\text{Lu}$  ( $4.00 \times 10^{10}$  y,  $J^\pi=7^-$ ) and  $^{176}\text{Lu}$  ( $3.664$  h,  $J^\pi=1^-$ ), thus providing a path for production of these isomers by the s-process in stellar matter. The calculated rate of photoexcitation of  $^{176}\text{Lu}$  ( $4.00 \times 10^{10}$  y) to the 838.5 level as a function of temperature suggests that above  $3.0 \times 10^8$  K the Lu isomers are in thermal equilibrium. The effective half-life of  $^{176}\text{Lu}$  under such conditions is less than one year, consequently this isotope is not a reliable s-process chronometer (1991Le28).

E(level) <sup>†</sup>	$J^\pi$ <sup>‡</sup>	Comments
0.0 <sup>a</sup>	7 <sup>-</sup>	
122.9 <sup>l</sup>	1 <sup>-</sup>	
184.1 <sup>a</sup> <sup>l</sup>	8 <sup>-</sup>	
194.4 <sup>d</sup> <sup>l</sup>	1 <sup>+</sup>	
233.1 <sup>b</sup> <sup>l</sup>	2 <sup>+</sup>	
235.8 <sup>b</sup> <sup>l</sup>	3 <sup>-</sup>	
236.9 <sup>b</sup> <sup>l</sup>	0 <sup>-</sup>	
299.3 <sup>d</sup> <sup>l</sup>	3 <sup>+</sup>	
305.3 <sup>b</sup> <sup>l</sup>	2 <sup>-</sup>	
338.8 <sup>c</sup> <sup>l</sup>	1 <sup>+</sup>	
372.5 <sup>d</sup> <sup>l</sup>	4 <sup>+</sup>	
381.3 <sup>c</sup> <sup>l</sup>	2 <sup>+</sup>	
386.6 <sup>f</sup> <sup>l</sup>	1 <sup>-</sup>	
388.9 <sup>a</sup> <sup>l</sup>	9 <sup>-</sup>	
424.9 <sup>w</sup> <sup>l</sup>	8 <sup>+</sup>	
433.0 <sup>f</sup> <sup>l</sup>	2 <sup>-</sup>	
437.3 <sup>b</sup> <sup>l</sup>	5 <sup>-</sup>	
450.1 <sup>c</sup> <sup>l</sup>	3 <sup>+</sup>	
463.8 <sup>b</sup> <sup>l</sup>	4 <sup>-</sup>	
487.6 <sup>d</sup> <sup>l</sup>	5 <sup>+</sup>	
504.9 <sup>f</sup> <sup>l</sup>	3 <sup>-</sup>	
533.1 <sup>c</sup> <sup>l</sup>	4 <sup>+</sup>	
563.9 <sup>l</sup>	(6) <sup>-</sup>	
591.7 <sup>d</sup> <sup>l</sup>	6 <sup>+</sup>	
595.7 <sup>f</sup> <sup>l</sup>	4 <sup>-</sup>	
635.3 <sup>q</sup> <sup>l</sup>	4 <sup>+</sup>	
637.7 <sup>g</sup> <sup>l</sup>	1 <sup>-</sup>	
650.2 <sup>c</sup> <sup>l</sup>	5 <sup>+</sup>	
657.1 <sup>s</sup> <sup>l</sup>	5 <sup>+</sup>	E(level): Adopted as a member of $K^\pi=4^+$ band: configuration $v7/2[514]+\pi1/2[541]$ , not as a bandhead of $K^\pi=5^+$ band. See Adopted Levels for details.
658.3 <sup>j</sup> <sup>l</sup>	3 <sup>-</sup>	
687.8 <sup>g</sup> <sup>l</sup>	2 <sup>-</sup>	
695.7 <sup>l</sup>	(0 to 4) <sup>#</sup>	
710.0 <sup>b</sup> <sup>l</sup>	6 <sup>-</sup>	

Continued on next page (footnotes at end of table)

**$^{176}\text{Yb}(\text{p},\text{n}\gamma)$  1991Le28 (continued)** **$^{176}\text{Lu}$  Levels (continued)**

E(level) <sup>†</sup>	J <sup>‡</sup>	T <sub>1/2</sub> <sup>@</sup>	Comments
715.4 <sup>f</sup> <i>I</i>	5 <sup>-</sup>		
722.9 <sup>h</sup> <i>I</i>	4 <sup>-</sup>		
724.7 <sup>b</sup> <i>I</i>	7 <sup>-</sup>		
725.2 <sup>l</sup> <i>I</i>	(7) <sup>-</sup>		
734.0 <sup>x</sup> <i>I</i>	(7 <sup>+</sup> )		
734.4 <sup>r</sup> <i>I</i>	3 <sup>+</sup>		
751.7 <sup>j</sup> <i>I</i>	4 <sup>-</sup>		
758.4 <sup>d</sup> <i>I</i>	7 <sup>+</sup>		
763.6 <sup>g</sup> <i>I</i>	3 <sup>-</sup>		
765.7 <sup>m</sup> <i>I</i>	(6) <sup>-</sup>		
772.1 <sup>c</sup> <i>I</i>	(6) <sup>+</sup>		
788.2 <sup>k</sup> <i>I</i>	4 <sup>-</sup>		
792.3 <i>I</i>	(2) <sup>+</sup>		
796.5 <sup>&amp;</sup> <i>I</i>	1 <sup>-</sup>		
832.4 <sup>&amp;</sup> <i>I</i>	2 <sup>-</sup>		
834.8 <sup>n</sup> <i>I</i>	(5) <sup>-</sup>		
838.5 <sup>h</sup> <i>I</i>	5 <sup>-</sup>	<6.9 ns	T <sub>1/2</sub> : From $\tau < 10$ ns, determined from timing information signals between detectors.
843.4 <sup>i</sup> <i>I</i>	3 <sup>-</sup>		
848.2 <sup>f</sup> <i>I</i>	6 <sup>-</sup>		
860.5 <sup>g</sup> <i>I</i>	4 <sup>-</sup>		
866.1 <sup>p</sup> <i>I</i>	2 <sup>+</sup>		
867.9 <sup>j</sup> <i>I</i>	5 <sup>-</sup>		
870.0 <sup>o</sup> <i>I</i>	(5) <sup>-</sup>		
871.4 <sup>v</sup> <i>I</i>	(4) <sup>+</sup>		
883.5 <sup>&amp;</sup> <i>I</i>	3 <sup>-</sup>		
903.7 <i>I</i>	(4 to 8) <sup>#</sup>		
908.3 <sup>u</sup> <i>I</i>	(4) <sup>-</sup>		
921.5 <sup>k</sup> <i>I</i>	(5) <sup>-</sup>		
930.8 <sup>p</sup> <i>I</i>	3 <sup>+</sup>		
938.4 <sup>c</sup> <i>I</i>	(7) <sup>+</sup>		
945.0 <sup>i</sup> <i>I</i>	4 <sup>-</sup>		
957.7 <sup>&amp;</sup> <i>I</i>	4 <sup>-</sup>		
957.9 <sup>t</sup> <i>I</i>	3 <sup>-</sup>		
959.2 <i>I</i>	(3 to 7) <sup>#</sup>		
960.2 <i>I</i>	(3) <sup>-</sup>		
973.8 <i>I</i>	(5) <sup>+</sup>		
985.5 <sup>y</sup> <i>I</i>	4 <sup>+</sup>		
988.1 <sup>g</sup> <i>I</i>	5 <sup>-</sup>		
990.0 <i>I</i>	(3 <sup>+</sup> )		J <sup>π</sup> : 124.0 $\gamma$ to 2 <sup>+</sup> state, 617.9 $\gamma$ to 4 <sup>+</sup> state.
1015.1 <sup>p</sup> <i>I</i>	4 <sup>+</sup>		
1019.7 <i>I</i>	(4 <sup>+</sup> )		
1029.5 <sup>e</sup> <i>I</i>	(2) <sup>-</sup>		
1042.5 <sup>&amp;</sup> <i>I</i>	5 <sup>-</sup>		
1046.2 <i>I</i>	(4 to 8) <sup>#</sup>		
1067.4 <sup>t</sup> <i>I</i>	4 <sup>-</sup>		
1100.4 <sup>e</sup> <i>I</i>	(3) <sup>-</sup>		
1104.6 <i>I</i>	4 <sup>-#</sup>		
1120.2 <i>I</i>	(3 to 6) <sup>#</sup>		
1142.3 <i>I</i>	(0 to 4) <sup>#</sup>		

Continued on next page (footnotes at end of table)

**$^{176}\text{Yb}(\text{p},\text{n}\gamma)$  1991Le28 (continued)** **$^{176}\text{Lu}$  Levels (continued)**

E(level) <sup>†</sup>	J <sup>‡</sup>	E(level) <sup>†</sup>	J <sup>‡</sup>	E(level) <sup>†</sup>	J <sup>‡</sup>
1163.9 1	(1 to 5) <sup>#</sup>	1241.0 1	(4 to 8) <sup>#</sup>	1301.4 1	(1 to 5) <sup>#</sup>
1227.8 1	(1 to 5) <sup>#</sup>	1274.5 1	(2 to 6) <sup>#</sup>	1370.7 1	(2 to 6) <sup>#</sup>
1237.4 1	(2 to 6) <sup>#</sup>	1277.7 1	(4 to 8) <sup>#</sup>	1426.0 1	(2 to 6) <sup>#</sup>

<sup>†</sup> From a least squares fit to the  $\gamma$ -ray energies assuming  $\Delta E=1$  keV for all  $\gamma$ -ray energies.

<sup>‡</sup> From Adopted Levels, except otherwise noted.

<sup>#</sup> Assigned in 1991Le28 based on their  $\gamma$ -ray decay pattern, assuming M1, E1, or E2 multipolarities. All levels have  $T_{1/2} \leq 7$  ns.

@ From 1991Le28.

& Band(A):  $K^\pi=0^-$ . Configuration=(( $\pi$  9/2(514))-( $\nu$  9/2(924))).

<sup>a</sup> Band(B):  $K^\pi=7^-$  g.s. rotational band. Configuration=(( $\pi$  7/2(404))+( $\nu$  7/2(514))).

<sup>b</sup> Band(C):  $K^\pi=0^-$ . Configuration=(( $\pi$  7/2(404))-( $\nu$  7/2(514))).

<sup>c</sup> Band(D):  $K^\pi=1^+$ . Configuration=(( $\pi$  7/2(404))-( $\nu$  9/2(624))).

<sup>d</sup> Band(E):  $K^\pi=1^+$ . Configuration=(( $\pi$  9/2(514))-( $\nu$  7/2(514))).

<sup>e</sup> Band(F):  $K^\pi=2^-$ . Configuration=(( $\pi$  7/2(404))-( $\nu$  3/2(512))).

<sup>f</sup> Band(G):  $K^\pi=1^-$ . Configuration=(( $\pi$  5/2(402))-( $\nu$  7/2(514))).

<sup>g</sup> Band(H):  $K^\pi=1^-$ . Configuration=(( $\pi$  7/2(404))-( $\nu$  5/2(512))).

<sup>h</sup> Band(I):  $K^\pi=4^-$ . Configuration=(( $\pi$  1/2(411))+( $\nu$  7/2(514))).

<sup>i</sup> Band(J):  $K^\pi=3^-$ . Configuration=(( $\pi$  1/2(411))-( $\nu$  7/2(514))).

<sup>j</sup> Band(K):  $K^\pi=3^-$ . Configuration=(( $\pi$  7/2(404))-( $\nu$  1/2(510))).

<sup>k</sup> Band(L):  $K^\pi=4^-$ . Configuration=(( $\pi$  7/2(404))+( $\nu$  1/2(510))).

<sup>l</sup> Band(M):  $K^\pi=6^-$ . Configuration=(( $\pi$  5/2(402))+( $\nu$  7/2(514))).

<sup>m</sup> Band(N):  $K^\pi=6^-$ . Configuration=(( $\pi$  7/2(404))+( $\nu$  5/2(512))).

<sup>n</sup> Band(O):  $K^\pi=5^-$ . Configuration=(( $\pi$  7/2(404))+( $\nu$  3/2(512))).

<sup>o</sup> Band(P):  $K^\pi=5^-$ .  $\gamma$ -vibrational band.

<sup>p</sup> Band(Q):  $K^\pi=2^+$ . Configuration=(( $\pi$  5/2(402))-( $\nu$  9/2(624))).

<sup>q</sup> Band(R):  $K^\pi=4^+$ . Configuration=(( $\pi$  1/2(541))+( $\nu$  7/2(514))).

<sup>r</sup> Band(S):  $K^\pi=3^+$ . Configuration=(( $\pi$  1/2(541))-( $\nu$  7/2(514))).

<sup>s</sup> Band(T):  $K^\pi=5^+$ . Configuration=(( $\pi$  9/2(514))+( $\nu$  1/2(510))).

<sup>t</sup> Band(U):  $K^\pi=3^-$ . Configuration=(( $\pi$  7/2(404))-( $\nu$  1/2(521))).

<sup>u</sup> Band(V):  $K^\pi=4^-$ . Configuration=(( $\pi$  7/2(404))+( $\nu$  1/2(521))).

<sup>v</sup> Band(W):  $K^\pi=4^+$ . Configuration=(( $\pi$  9/2(514))-( $\nu$  1/2(510))).

<sup>w</sup> Band(X):  $K^\pi=8^+$ . Configuration=(( $\pi$  7/2(404))+( $\nu$  9/2(624))).

<sup>x</sup> Band(Y):  $K^\pi=7^+$ . Configuration=(( $\pi$  5/2(402))+( $\nu$  9/2(624))).

<sup>y</sup> Band(Z):  $K^\pi=4^+$ . Configuration=(( $\pi$  1/2(411))-( $\nu$  9/2(624))).

 **$\gamma(^{176}\text{Lu})$** 

$E_\gamma^\dagger$	$E_i(\text{level})$	$J_i^\pi$	$E_f$	$J_f^\pi$	$E_\gamma^\dagger$	$E_i(\text{level})$	$J_i^\pi$	$E_f$	$J_f^\pi$
21.9	657.1	5 <sup>+</sup>	635.3	4 <sup>+</sup>	69.5	305.3	2 <sup>-</sup>	235.8	3 <sup>-</sup>
38.7	233.1	2 <sup>+</sup>	194.4	1 <sup>+</sup>	71.5	194.4	1 <sup>+</sup>	122.9	1 <sup>-</sup>
43.3	635.3	4 <sup>+</sup>	591.7	6 <sup>+</sup>	71.7	504.9	3 <sup>-</sup>	433.0	2 <sup>-</sup>
46.4	433.0	2 <sup>-</sup>	386.6	1 <sup>-</sup>	73.1	372.5	4 <sup>+</sup>	299.3	3 <sup>+</sup>
64.5	437.3	5 <sup>-</sup>	372.5	4 <sup>+</sup>	75.7	763.6	3 <sup>-</sup>	687.8	2 <sup>-</sup>
64.6	722.9	4 <sup>-</sup>	658.3	3 <sup>-</sup>	77.3	463.8	4 <sup>-</sup>	386.6	1 <sup>-</sup>
64.8	903.7	(4 to 8)	838.5	5 <sup>-</sup>	77.3	734.4	3 <sup>+</sup>	657.1	5 <sup>+</sup>
66.2	299.3	3 <sup>+</sup>	233.1	2 <sup>+</sup>	77.6	450.1	3 <sup>+</sup>	372.5	4 <sup>+</sup>

Continued on next page (footnotes at end of table)

**$^{176}\text{Yb}(\text{p},\text{n}\gamma) \quad 1991\text{Le28}$  (continued)** **$\gamma(^{176}\text{Lu})$  (continued)**

$E_\gamma^\dagger$	$E_i(\text{level})$	$J_i^\pi$	$E_f$	$J_f^\pi$	$E_\gamma^\dagger$	$E_i(\text{level})$	$J_i^\pi$	$E_f$	$J_f^\pi$
81.3 <sup>c</sup>	386.6	1 <sup>-</sup>	305.3	2 <sup>-</sup>	192.2	386.6	1 <sup>-</sup>	194.4	1 <sup>+</sup>
81.9	381.3	2 <sup>+</sup>	299.3	3 <sup>+</sup>	194.6	658.3	3 <sup>-</sup>	463.8	4 <sup>-</sup>
90.9	595.7	4 <sup>-</sup>	504.9	3 <sup>-</sup>	197.2	433.0	2 <sup>-</sup>	235.8	3 <sup>-</sup>
91.1	959.2	(3 to 7)	867.9	5 <sup>-</sup>	200.0	433.0	2 <sup>-</sup>	233.1	2 <sup>+</sup>
91.6	843.4	3 <sup>-</sup>	751.7	4 <sup>-</sup>	<sup>x</sup> 201.2 <sup>‡</sup>				
93.3	751.7	4 <sup>-</sup>	658.3	3 <sup>-</sup>	201.5	437.3	5 <sup>-</sup>	235.8	3 <sup>-</sup>
99.3	734.4	3 <sup>+</sup>	635.3	4 <sup>+</sup>	201.7	765.7	(6) <sup>-</sup>	563.9	(6) <sup>-</sup>
104.1	591.7	6 <sup>+</sup>	487.6	5 <sup>+</sup>	203.5 <sup>&amp;</sup>	838.5	5 <sup>-</sup>	635.3	4 <sup>+</sup>
104.9	299.3	3 <sup>+</sup>	194.4	1 <sup>+</sup>	204.7	388.9	9 <sup>-</sup>	184.1	8 <sup>-</sup>
105.7	338.8	1 <sup>+</sup>	233.1	2 <sup>+</sup>	204.7	637.7	1 <sup>-</sup>	433.0	2 <sup>-</sup>
109.5	1067.4	4 <sup>-</sup>	957.9	3 <sup>-</sup>	205.5	504.9	3 <sup>-</sup>	299.3	3 <sup>+</sup>
112.8	1142.3	(0 to 4)	1029.5	(2) <sup>-</sup>	207.7	1046.2	(4 to 8)	838.5	5 <sup>-</sup>
112.9	235.8	3 <sup>-</sup>	122.9	1 <sup>-</sup>	208.3	960.2	(3) <sup>-</sup>	751.7	4 <sup>-</sup>
114.0	236.9	0 <sup>-</sup>	122.9	1 <sup>-</sup>	214.4	871.4	(4) <sup>+</sup>	657.1	5 <sup>+</sup>
115.1	487.6	5 <sup>+</sup>	372.5	4 <sup>+</sup>	216 <sup>c</sup>	338.8	1 <sup>+</sup>	122.9	1 <sup>-</sup>
115.6 <sup>#</sup>	838.5	5 <sup>-</sup>	722.9	4 <sup>-</sup>	217.0	450.1	3 <sup>+</sup>	233.1	2 <sup>+</sup>
116.1	867.9	5 <sup>-</sup>	751.7	4 <sup>-</sup>	218.0	722.9	4 <sup>-</sup>	504.9	3 <sup>-</sup>
118.8	1104.6	4 <sup>-</sup>	985.5	4 <sup>+</sup>	219.2	591.7	6 <sup>+</sup>	372.5	4 <sup>+</sup>
119.7	715.4	5 <sup>-</sup>	595.7	4 <sup>-</sup>	222.1	945.0	4 <sup>-</sup>	722.9	4 <sup>-</sup>
120.3	843.4	3 <sup>-</sup>	722.9	4 <sup>-</sup>	225.3	658.3	3 <sup>-</sup>	433.0	2 <sup>-</sup>
124.0	990.0	(3) <sup>+</sup>	866.1	2 <sup>+</sup>	227.9	463.8	4 <sup>-</sup>	235.8	3 <sup>-</sup>
127.6	988.1	5 <sup>-</sup>	860.5	4 <sup>-</sup>	233.7	533.1	4 <sup>+</sup>	299.3	3 <sup>+</sup>
129.9	788.2	4 <sup>-</sup>	658.3	3 <sup>-</sup>	236.1	871.4	(4) <sup>+</sup>	635.3	4 <sup>+</sup>
132.8	848.2	6 <sup>-</sup>	715.4	5 <sup>-</sup>	238.7	433.0	2 <sup>-</sup>	194.4	1 <sup>+</sup>
133.3	921.5	(5) <sup>-</sup>	788.2	4 <sup>-</sup>	239.4	973.8	(5) <sup>+</sup>	734.4	3 <sup>+</sup>
133.7	433.0	2 <sup>-</sup>	299.3	3 <sup>+</sup>	240.8	424.9	8 <sup>+</sup>	184.1	8 <sup>-</sup>
137.2	871.4	(4) <sup>+</sup>	734.4	3 <sup>+</sup>	246.2	710.0	6 <sup>-</sup>	463.8	4 <sup>-</sup>
139.4	372.5	4 <sup>+</sup>	233.1	2 <sup>+</sup>	247.0	751.7	4 <sup>-</sup>	504.9	3 <sup>-</sup>
144.4	338.8	1 <sup>+</sup>	194.4	1 <sup>+</sup>	247.7	843.4	3 <sup>-</sup>	595.7	4 <sup>-</sup>
144.4	1104.6	4 <sup>-</sup>	960.2	(3) <sup>-</sup>	251.2	637.7	1 <sup>-</sup>	386.6	1 <sup>-</sup>
147.4	635.3	4 <sup>+</sup>	487.6	5 <sup>+</sup>	251.4	985.5	4 <sup>+</sup>	734.4	3 <sup>+</sup>
148.2	381.3	2 <sup>+</sup>	233.1	2 <sup>+</sup>	253.9	635.3	4 <sup>+</sup>	381.3	2 <sup>+</sup>
150.7	450.1	3 <sup>+</sup>	299.3	3 <sup>+</sup>	254.8	687.8	2 <sup>-</sup>	433.0	2 <sup>-</sup>
150.8	386.6	1 <sup>-</sup>	235.8	3 <sup>-</sup>	258.8	763.6	3 <sup>-</sup>	504.9	3 <sup>-</sup>
153.3	386.6	1 <sup>-</sup>	233.1	2 <sup>+</sup>	262.5	635.3	4 <sup>+</sup>	372.5	4 <sup>+</sup>
153.3	658.3	3 <sup>-</sup>	504.9	3 <sup>-</sup>	262.7	695.7	(0 to 4)	433.0	2 <sup>-</sup>
156.4	908.3	(4) <sup>-</sup>	751.7	4 <sup>-</sup>	263.7	386.6	1 <sup>-</sup>	122.9	1 <sup>-</sup>
158.5	463.8	4 <sup>-</sup>	305.3	2 <sup>-</sup>	264.4	921.5	(5) <sup>-</sup>	657.1	5 <sup>+</sup>
158.5	595.7	4 <sup>-</sup>	437.3	5 <sup>-</sup>	270.0	957.9	3 <sup>-</sup>	687.8	2 <sup>-</sup>
160.6	533.1	4 <sup>+</sup>	372.5	4 <sup>+</sup>	270.7	758.4	7 <sup>+</sup>	487.6	5 <sup>+</sup>
161.2	725.2	(7) <sup>-</sup>	563.9	(6) <sup>-</sup>	270.9	834.8	(5) <sup>-</sup>	563.9	(6) <sup>-</sup>
167.9	763.6	3 <sup>-</sup>	595.7	4 <sup>-</sup>	271.7	504.9	3 <sup>-</sup>	233.1	2 <sup>+</sup>
169.1	957.9	3 <sup>-</sup>	788.2	4 <sup>-</sup>	271.7	658.3	3 <sup>-</sup>	386.6	1 <sup>-</sup>
169.7	657.1	5 <sup>+</sup>	487.6	5 <sup>+</sup>	272.8	710.0	6 <sup>-</sup>	437.3	5 <sup>-</sup>
171.9	960.2	(3) <sup>-</sup>	788.2	4 <sup>-</sup>	274.6 <sup>a</sup>	838.5	5 <sup>-</sup>	563.9	(6) <sup>-</sup>
181.2 <sup>@</sup>	838.5	5 <sup>-</sup>	657.1	5 <sup>+</sup>	277.7	650.2	5 <sup>+</sup>	372.5	4 <sup>+</sup>
181.3	1019.7	(4) <sup>+</sup>	838.5	5 <sup>-</sup>	284.4	657.1	5 <sup>+</sup>	372.5	4 <sup>+</sup>
182.4	305.3	2 <sup>-</sup>	122.9	1 <sup>-</sup>	284.4	772.1	(6) <sup>+</sup>	487.6	5 <sup>+</sup>
182.9	687.8	2 <sup>-</sup>	504.9	3 <sup>-</sup>	285.6 <sup>c</sup>	1019.7	(4) <sup>+</sup>	734.4	3 <sup>+</sup>
184.1	184.1	8 <sup>-</sup>	0.0	7 <sup>-</sup>	287.4	724.7	7 <sup>-</sup>	437.3	5 <sup>-</sup>
184.9	635.3	4 <sup>+</sup>	450.1	3 <sup>+</sup>	292.4	1237.4	(2 to 6)	945.0	4 <sup>-</sup>
185.0	843.4	3 <sup>-</sup>	658.3	3 <sup>-</sup>	299.4	957.9	3 <sup>-</sup>	658.3	3 <sup>-</sup>
185.3	908.3	(4) <sup>-</sup>	722.9	4 <sup>-</sup>	301.7	960.2	(3) <sup>-</sup>	658.3	3 <sup>-</sup>
186.9	381.3	2 <sup>+</sup>	194.4	1 <sup>+</sup>	303.8	1067.4	4 <sup>-</sup>	763.6	3 <sup>-</sup>
188.3	487.6	5 <sup>+</sup>	299.3	3 <sup>+</sup>	306.1	870.0	(5) <sup>-</sup>	563.9	(6) <sup>-</sup>

Continued on next page (footnotes at end of table)

**$^{176}\text{Yb}(\text{p},\text{n}\gamma)$  1991Le28 (continued)** **$\gamma(^{176}\text{Lu})$  (continued)**

$E_\gamma^\dagger$	$E_i(\text{level})$	$J_i^\pi$	$E_f$	$J_f^\pi$	$E_\gamma^\dagger$	$E_i(\text{level})$	$J_i^\pi$	$E_f$	$J_f^\pi$
309.1	734.0	(7 <sup>+</sup> )	424.9	8 <sup>+</sup>	493.5	1227.8	(1 to 5)	734.4	3 <sup>+</sup>
310.0	433.0	2 <sup>-</sup>	122.9	1 <sup>-</sup>	520.4	957.7	4 <sup>-</sup>	437.3	5 <sup>-</sup>
315.5	973.8	(5) <sup>+</sup>	658.3	3 <sup>-</sup>	527.2	960.2	(3) <sup>-</sup>	433.0	2 <sup>-</sup>
316.3	973.8	(5) <sup>+</sup>	657.1	5 <sup>+</sup>	527.3	866.1	2 <sup>+</sup>	338.8	1 <sup>+</sup>
320.7	1163.9	(1 to 5)	843.4	3 <sup>-</sup>	527.5	1015.1	4 <sup>+</sup>	487.6	5 <sup>+</sup>
327.1 <sup>c</sup>	985.5	4 <sup>+</sup>	658.3	3 <sup>-</sup>	549.0	930.8	3 <sup>+</sup>	381.3	2 <sup>+</sup>
328.4	985.5	4 <sup>+</sup>	657.1	5 <sup>+</sup>	558.2	930.8	3 <sup>+</sup>	372.5	4 <sup>+</sup>
330.5	763.6	3 <sup>-</sup>	433.0	2 <sup>-</sup>	562.6 <sup>c</sup>	1067.4	4 <sup>-</sup>	504.9	3 <sup>-</sup>
335.7	635.3	4 <sup>+</sup>	299.3	3 <sup>+</sup>	563.9	563.9	(6) <sup>-</sup>	0.0	7 <sup>-</sup>
338.5	973.8	(5) <sup>+</sup>	635.3	4 <sup>+</sup>	565.2	1015.1	4 <sup>+</sup>	450.1	3 <sup>+</sup>
346.6	938.4	(7) <sup>+</sup>	591.7	6 <sup>+</sup>	566.8	866.1	2 <sup>+</sup>	299.3	3 <sup>+</sup>
350.6	985.5	4 <sup>+</sup>	635.3	4 <sup>+</sup>	567.0	1301.4	(1 to 5)	734.4	3 <sup>+</sup>
355.7	860.5	4 <sup>-</sup>	504.9	3 <sup>-</sup>	578.2	883.5	3 <sup>-</sup>	305.3	2 <sup>-</sup>
357.5	921.5	(5) <sup>-</sup>	563.9	(6) <sup>-</sup>	578.4	1042.5	5 <sup>-</sup>	463.8	4 <sup>-</sup>
359.0	658.3	3 <sup>-</sup>	299.3	3 <sup>+</sup>	578.6	960.2	(3) <sup>-</sup>	381.3	2 <sup>+</sup>
359.9	595.7	4 <sup>-</sup>	235.8	3 <sup>-</sup>	587.1	1120.2	(3 to 6)	533.1	4 <sup>+</sup>
362.6	1019.7	(4 <sup>+</sup> )	657.1	5 <sup>+</sup>	596.5	1029.5	(2) <sup>-</sup>	433.0	2 <sup>-</sup>
368.6	832.4	2 <sup>-</sup>	463.8	4 <sup>-</sup>	596.6	832.4	2 <sup>-</sup>	235.8	3 <sup>-</sup>
379.8	563.9	(6) <sup>-</sup>	184.1	8 <sup>-</sup>	597.9	792.3	(2) <sup>+</sup>	194.4	1 <sup>+</sup>
381.9	504.9	3 <sup>-</sup>	122.9	1 <sup>-</sup>	617.9 <sup>c</sup>	990.0	(3) <sup>+</sup>	372.5	4 <sup>+</sup>
391.8	1029.5	(2) <sup>-</sup>	637.7	1 <sup>-</sup>	624.8	860.5	4 <sup>-</sup>	235.8	3 <sup>-</sup>
392.5	988.1	5 <sup>-</sup>	595.7	4 <sup>-</sup>	631.4 <sup>c</sup>	930.8	3 <sup>+</sup>	299.3	3 <sup>+</sup>
397.7 <sup>c</sup>	930.8	3 <sup>+</sup>	533.1	4 <sup>+</sup>	633.2	866.1	2 <sup>+</sup>	233.1	2 <sup>+</sup>
402.5	1241.0	(4 to 8)	838.5	5 <sup>-</sup>	642.8	1029.5	(2) <sup>-</sup>	386.6	1 <sup>-</sup>
410.7	843.4	3 <sup>-</sup>	433.0	2 <sup>-</sup>	642.9 <sup>c</sup>	1015.1	4 <sup>+</sup>	372.5	4 <sup>+</sup>
410.8	848.2	6 <sup>-</sup>	437.3	5 <sup>-</sup>	660.8	960.2	(3) <sup>-</sup>	299.3	3 <sup>+</sup>
419.5	883.5	3 <sup>-</sup>	463.8	4 <sup>-</sup>	667.4	1100.4	(3) <sup>-</sup>	433.0	2 <sup>-</sup>
422.7	658.3	3 <sup>-</sup>	235.8	3 <sup>-</sup>	671.1	866.1	2 <sup>+</sup>	194.4	1 <sup>+</sup>
423.1	860.5	4 <sup>-</sup>	437.3	5 <sup>-</sup>	690.0 <sup>c</sup>	990.0	(3) <sup>+</sup>	299.3	3 <sup>+</sup>
424.9	424.9	8 <sup>+</sup>	0.0	7 <sup>-</sup>	690.7	1029.5	(2) <sup>-</sup>	338.8	1 <sup>+</sup>
425.3	658.3	3 <sup>-</sup>	233.1	2 <sup>+</sup>	697.6	930.8	3 <sup>+</sup>	233.1	2 <sup>+</sup>
425.9 <sup>c</sup>	930.8	3 <sup>+</sup>	504.9	3 <sup>-</sup>	709.5	832.4	2 <sup>-</sup>	122.9	1 <sup>-</sup>
433.1	866.1	2 <sup>+</sup>	433.0	2 <sup>-</sup>	722.0	957.7	4 <sup>-</sup>	235.8	3 <sup>-</sup>
439.2	1277.7	(4 to 8)	838.5	5 <sup>-</sup>	722.4	957.9	3 <sup>-</sup>	235.8	3 <sup>-</sup>
440.3	1426.0	(2 to 6)	985.5	4 <sup>+</sup>	724.2	1029.5	(2) <sup>-</sup>	305.3	2 <sup>-</sup>
452.0	687.8	2 <sup>-</sup>	235.8	3 <sup>-</sup>	727.1	960.2	(3) <sup>-</sup>	233.1	2 <sup>+</sup>
453 <sup>c</sup>	957.9	3 <sup>-</sup>	504.9	3 <sup>-</sup>	727.7	1100.4	(3) <sup>-</sup>	372.5	4 <sup>+</sup>
470.2	1120.2	(3 to 6)	650.2	5 <sup>+</sup>	735.5	1370.7	(2 to 6)	635.3	4 <sup>+</sup>
479.3	866.1	2 <sup>+</sup>	386.6	1 <sup>-</sup>	736.4	930.8	3 <sup>+</sup>	194.4	1 <sup>+</sup>
480.7	930.8	3 <sup>+</sup>	450.1	3 <sup>+</sup>	838.5 <sup>b</sup>	838.5	5 <sup>-</sup>	0.0	7 <sup>-</sup>
485.0	866.1	2 <sup>+</sup>	381.3	2 <sup>+</sup>	902.0	1274.5	(2 to 6)	372.5	4 <sup>+</sup>
491.5	796.5	1 <sup>-</sup>	305.3	2 <sup>-</sup>					

<sup>†</sup> Uncertainties are about 0.5 keV, private communication from 1991Le28.<sup>‡</sup> 1991Le28 placed this  $\gamma$  ray between the 687.8 (2<sup>-</sup>) and the 487.6 (5<sup>+</sup>) levels. This placement would require an E3 multipolarity for this transition.<sup>#</sup>  $I_{\gamma}=3.1$  5.<sup>@</sup>  $I_{\gamma}=4.9$  4.<sup>&</sup>  $I_{\gamma}=7.9$  5.<sup>a</sup>  $I_{\gamma}=13.9$  8.<sup>b</sup>  $I_{\gamma}=70$  3.

Continued on next page (footnotes at end of table)

---

 $^{176}\text{Yb}(\text{p},\text{n}\gamma)$     1991Le28 (continued) $\gamma(^{176}\text{Lu})$  (continued)

<sup>c</sup> Placement of transition in the level scheme is uncertain.

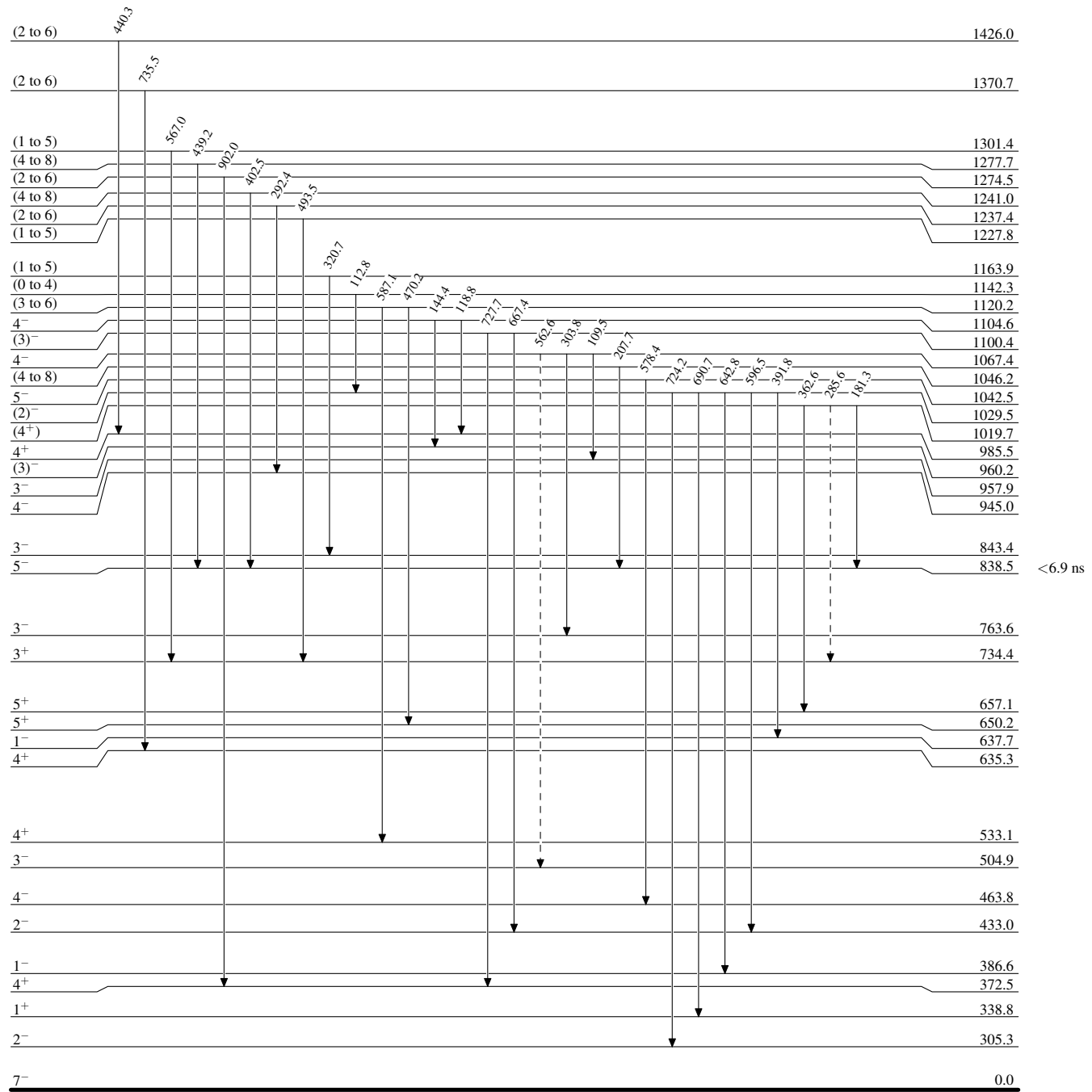
<sup>x</sup>  $\gamma$  ray not placed in level scheme.

$^{176}\text{Yb}(\text{p},\text{n}\gamma)$     1991Le28

## Legend

- - - - - ►  $\gamma$  Decay (Uncertain)

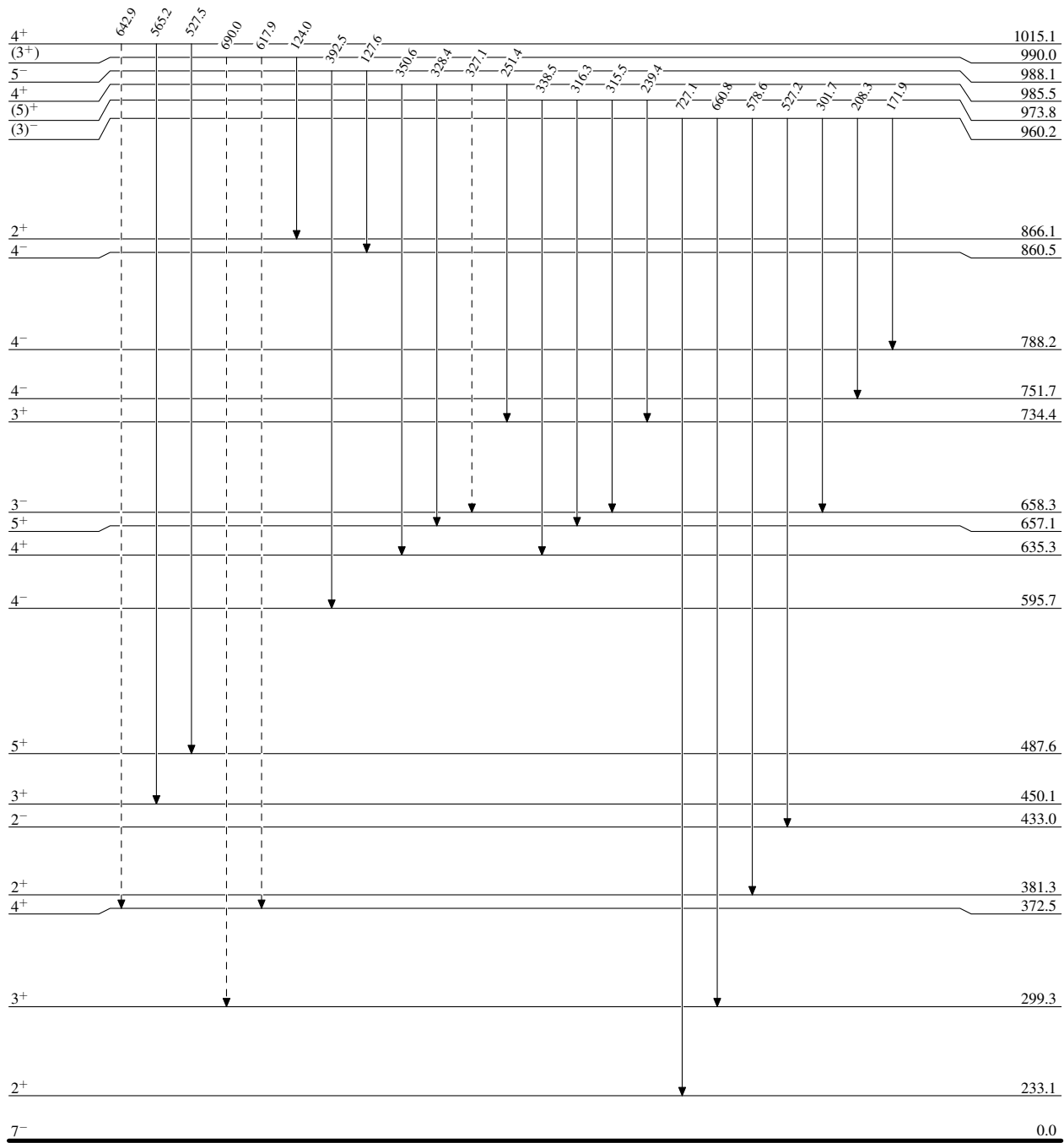
## Level Scheme



$^{176}\text{Yb}(\text{p},\text{n}\gamma)$  1991Le28

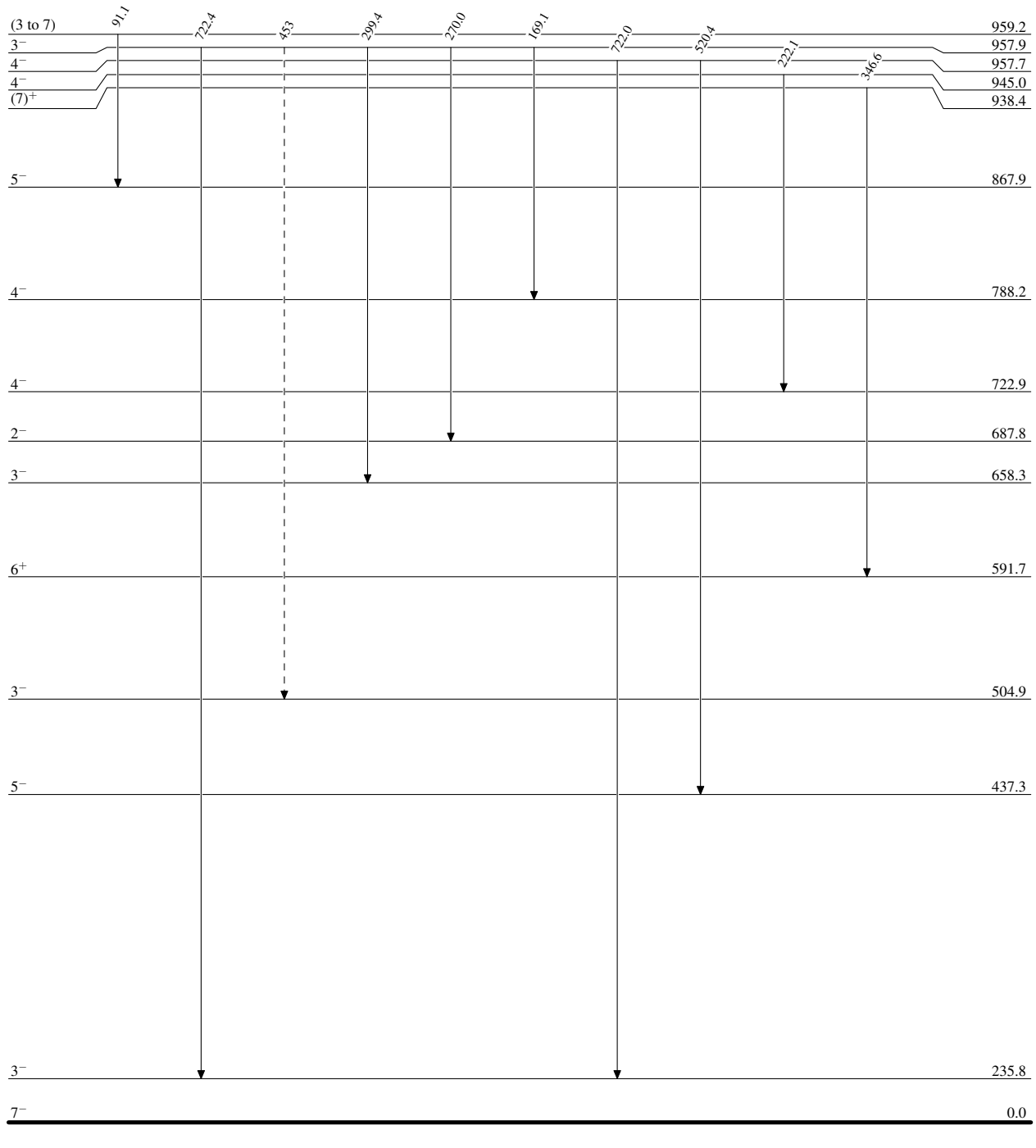
## Legend

— — — — ►  $\gamma$  Decay (Uncertain)



$^{176}\text{Yb}(\text{p},\text{n}\gamma)$     1991Le28

Legend

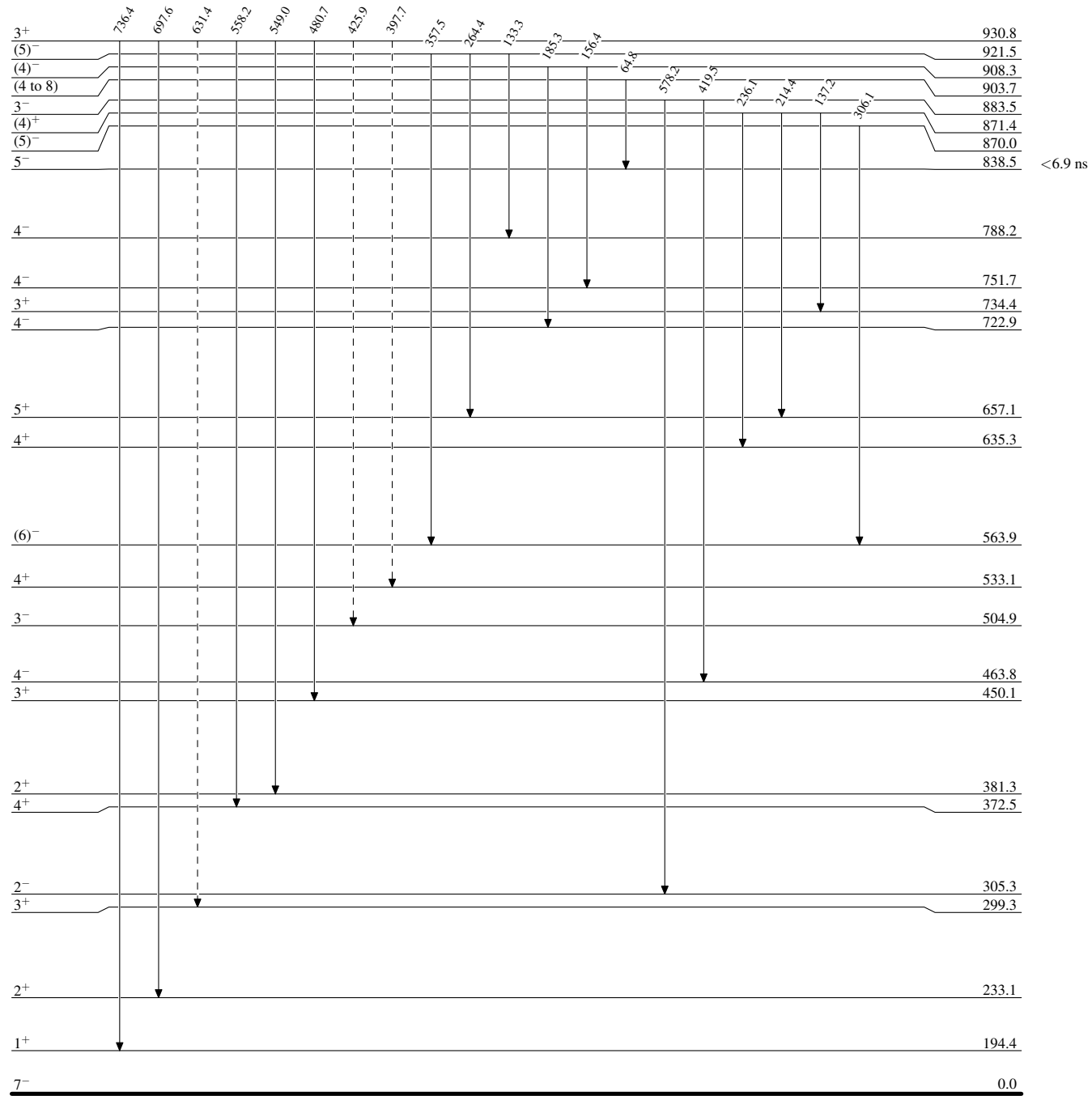
Level Scheme (continued)- - - - - ►  $\gamma$  Decay (Uncertain)

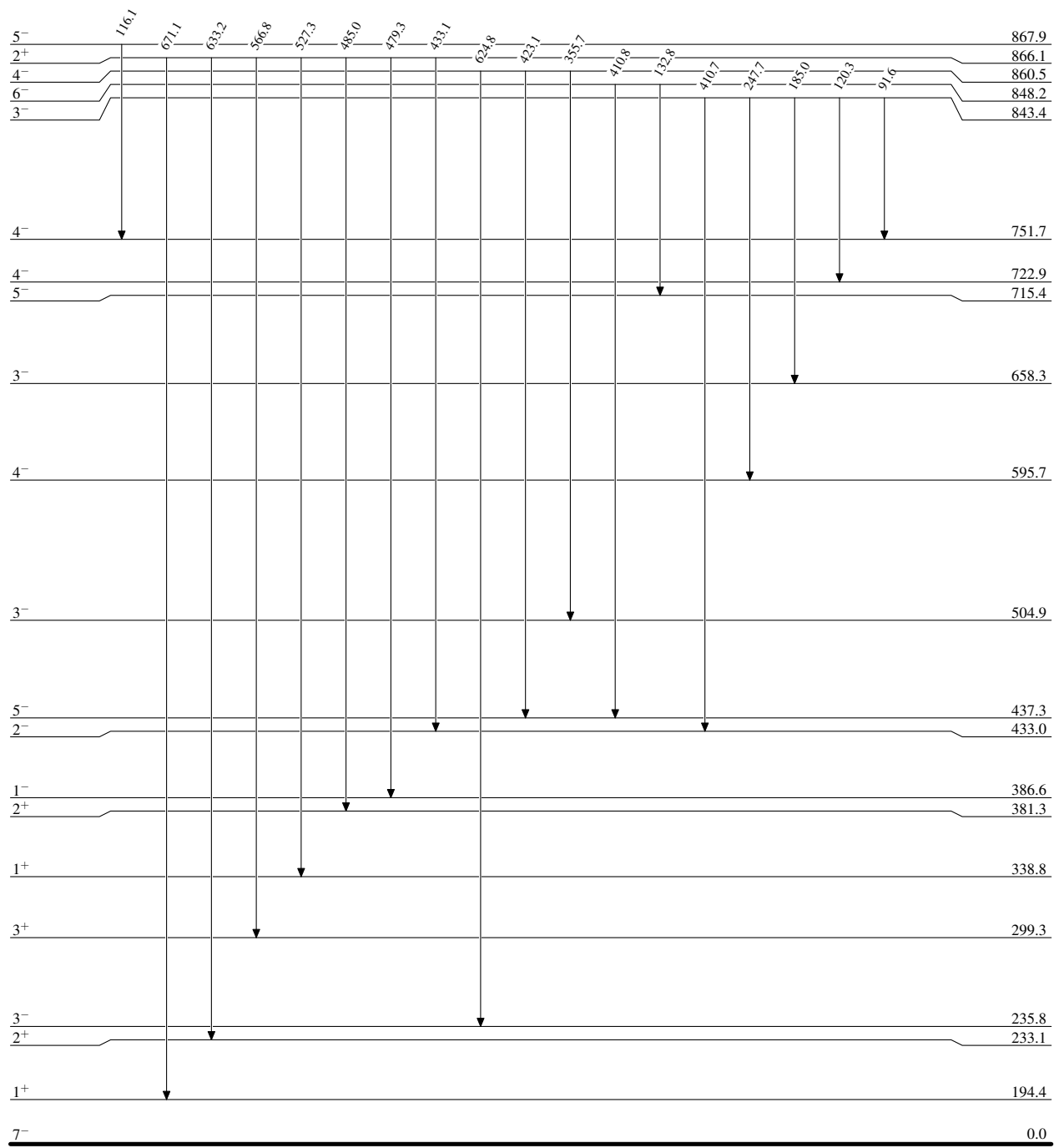
$^{176}\text{Yb}(\text{p},\text{n}\gamma)$  1991Le28

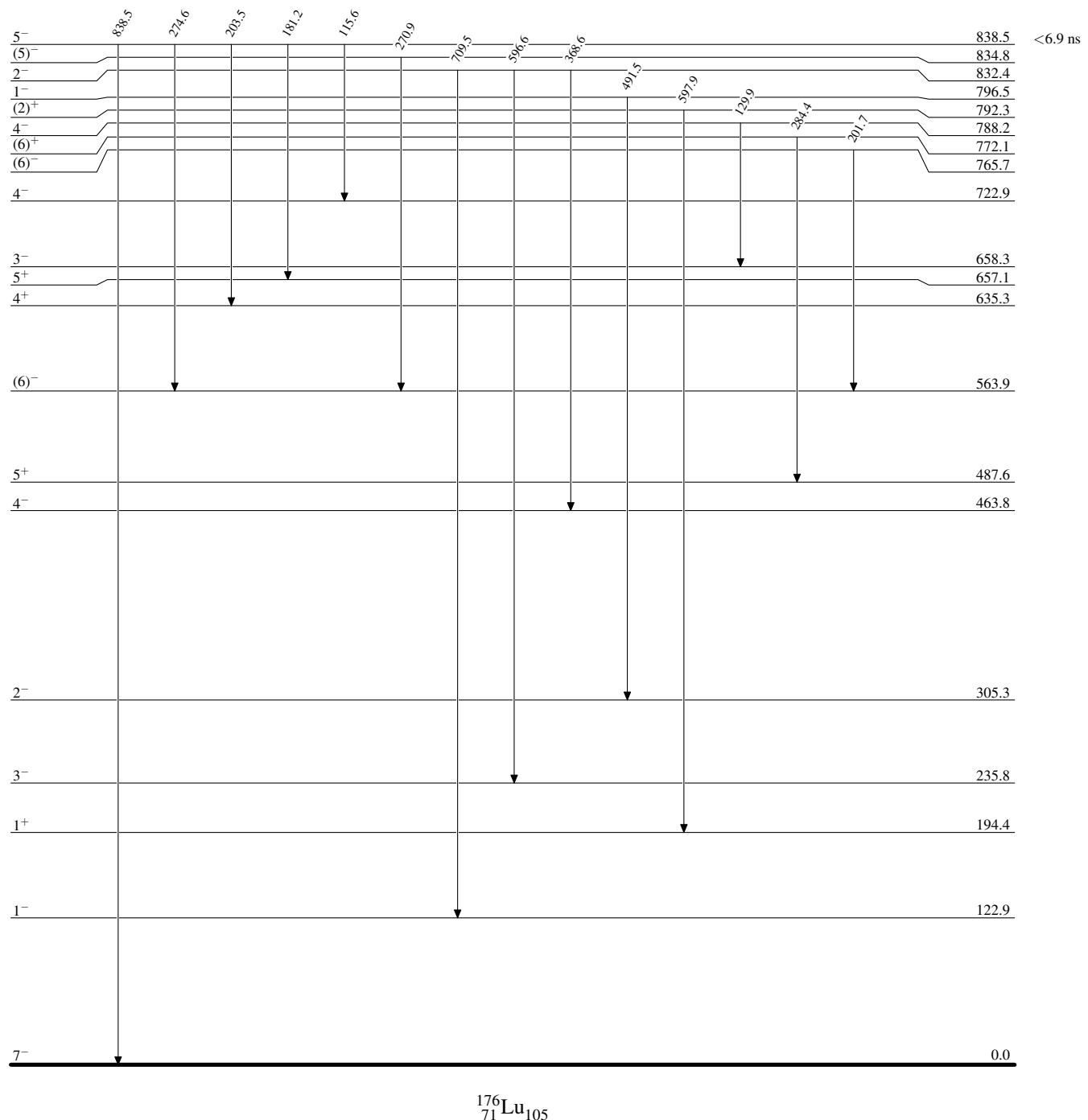
## Legend

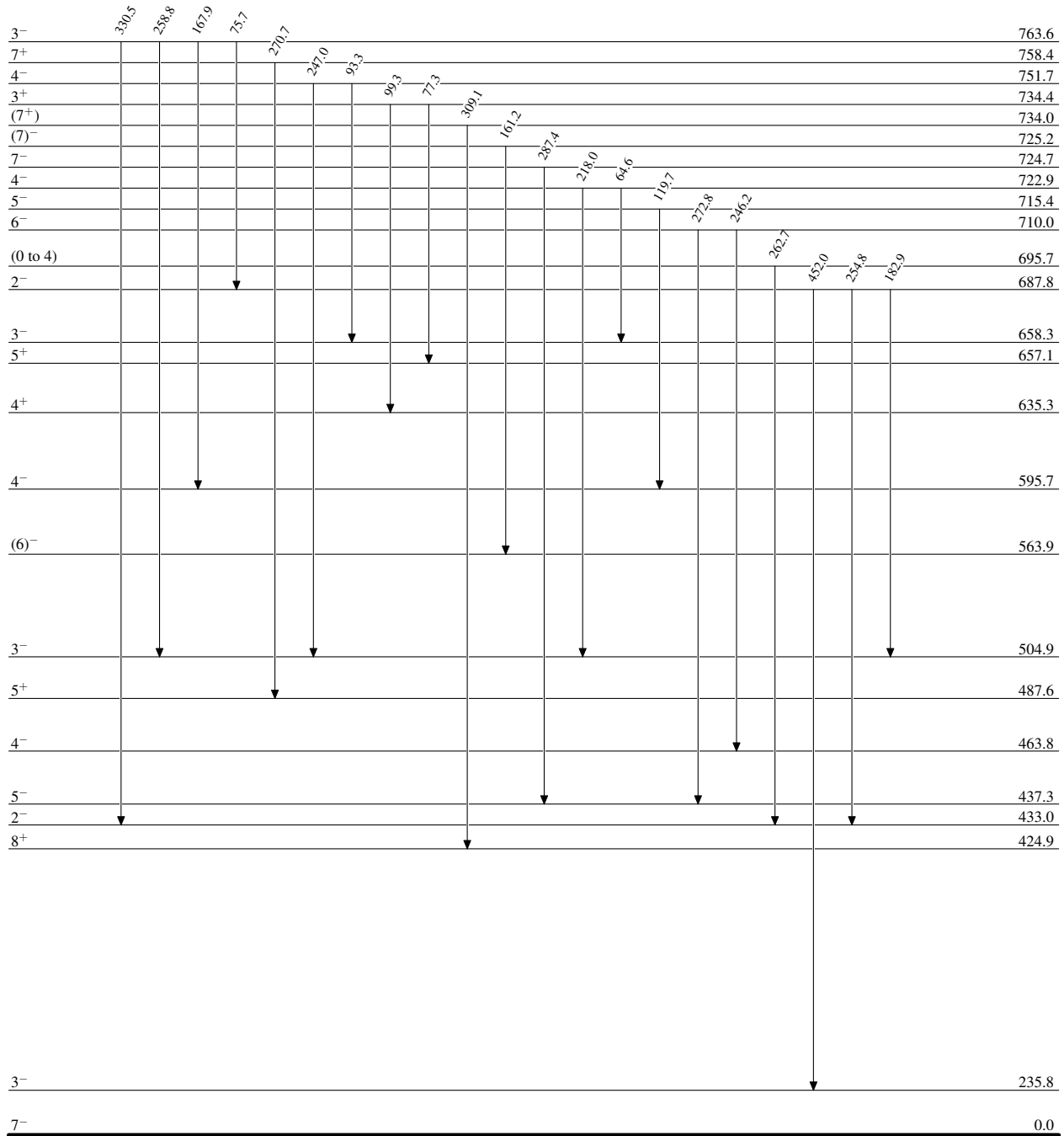
— →  $\gamma$  Decay (Uncertain)

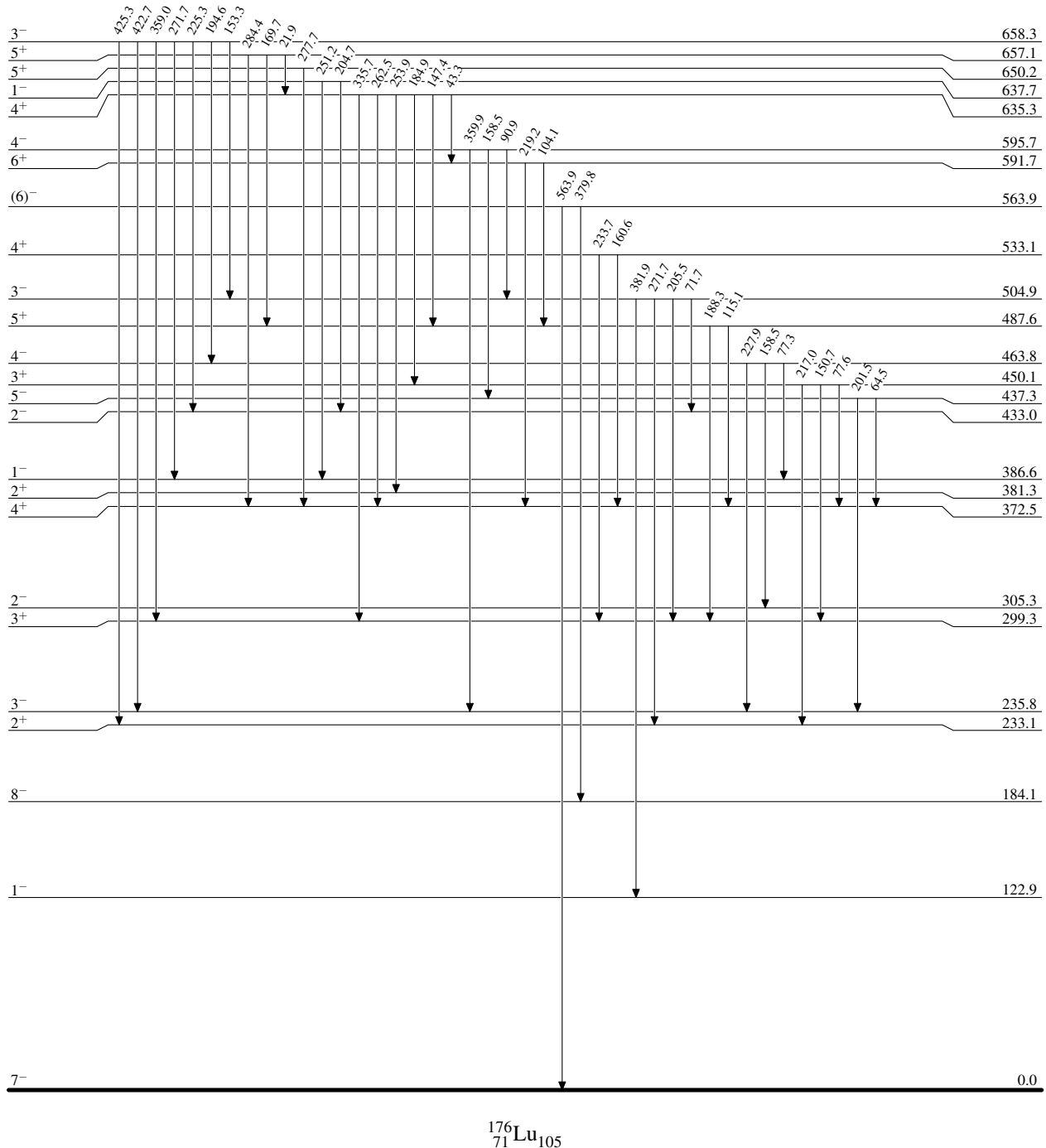
## Level Scheme (continued)



$^{176}\text{Yb}(\text{p},\text{n}\gamma)$  1991Le28Level Scheme (continued)

$^{176}\text{Yb}(\text{p},\text{n}\gamma)$  1991Le28Level Scheme (continued)

$^{176}\text{Yb}(\text{p},\text{n}\gamma)$  1991Le28Level Scheme (continued)

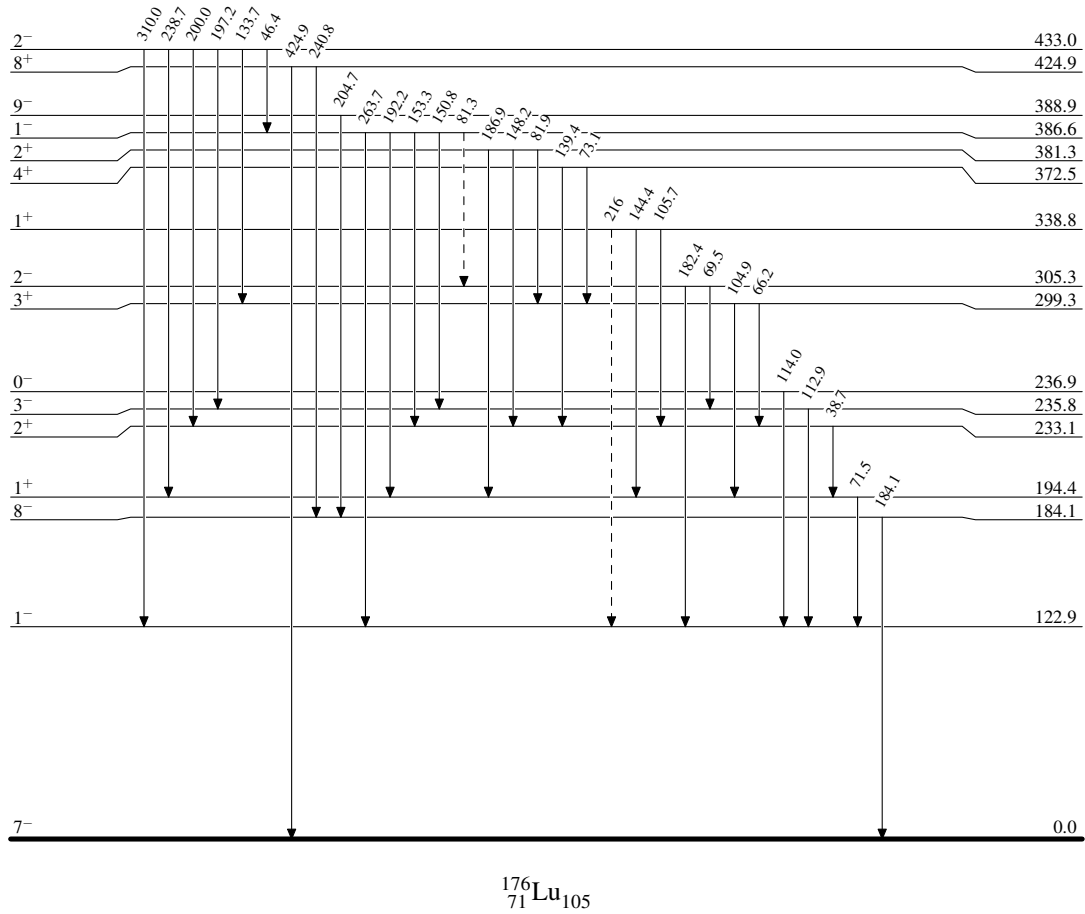
$^{176}\text{Yb}(\text{p},\text{n}\gamma)$     1991Le28Level Scheme (continued)

$^{176}\text{Yb}(\text{p},\text{n}\gamma) \quad 1991\text{Le28}$ 

Legend

-----►  $\gamma$  Decay (Uncertain)

## Level Scheme (continued)



$^{176}\text{Yb}(\text{p},\text{n}\gamma)$     **1991Le28**Band(A):  $K^\pi=0^-$ 

$$\overline{5^-} \quad \overline{\overline{1042.5}}$$

$$\overline{4^-} \quad \overline{\overline{957.7}}$$

$$\overline{3^-} \quad \overline{\overline{883.5}}$$

$$\overline{2^-} \quad \overline{\overline{832.4}}$$

$$\overline{1^-} \quad \overline{\overline{796.5}}$$

Band(B):  $K^\pi=7^-$  g.s.  
rotational band

$$\overline{9^-} \quad \overline{\overline{388.9}}$$

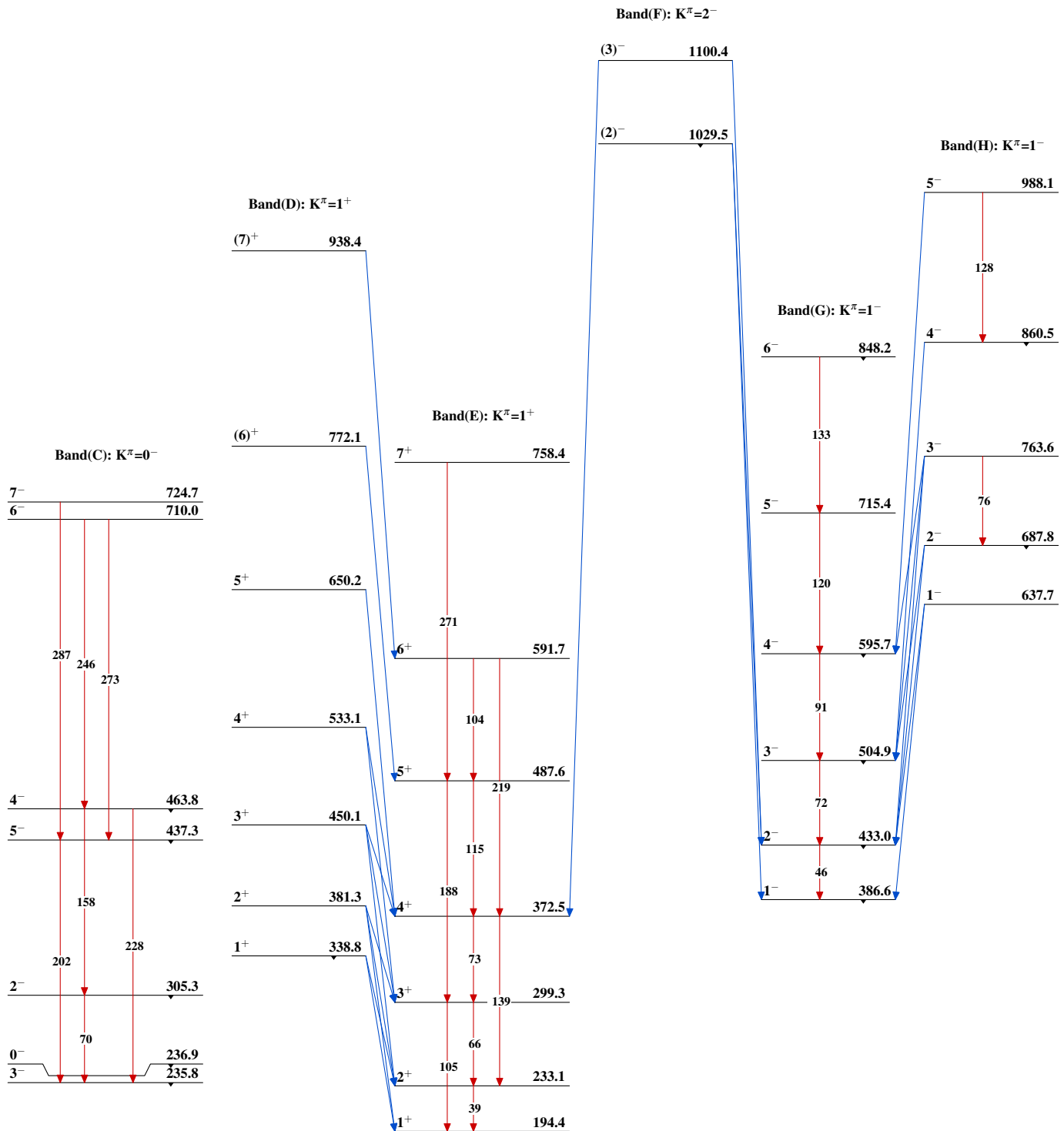
205

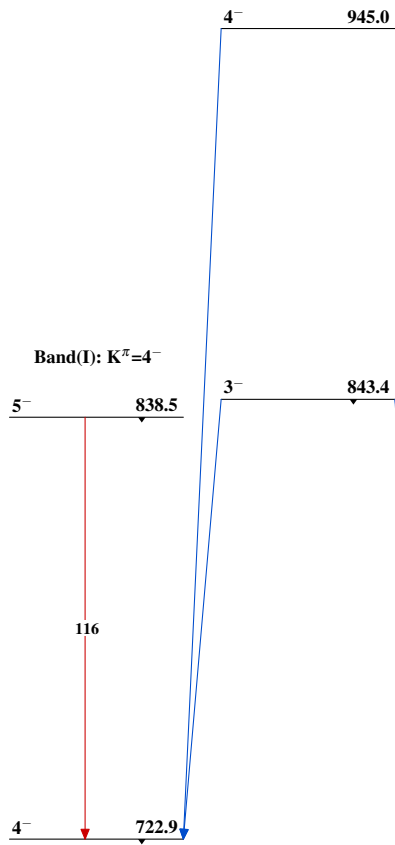
$$\overline{8^-} \quad \overline{\overline{184.1}}$$

184

$$\overline{7^-} \quad \overline{\overline{0.0}}$$

 $^{176}_{71}\text{Lu}_{105}$

$^{176}\text{Yb}(\text{p},\text{n}\gamma)$  1991Le28 (continued)

$^{176}\text{Yb}(\text{p},\text{n}\gamma)$  1991Le28 (continued)Band(J):  $K^\pi=3^-$ Band(L):  $K^\pi=4^-$ (5) $^-$  921.5Band(K):  $K^\pi=3^-$ 5 $^-$  867.9

133

Band(I):  $K^\pi=4^-$ 5 $^-$  838.5

116

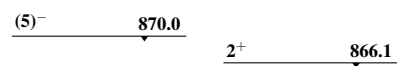
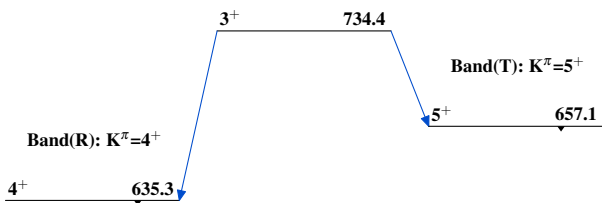
116

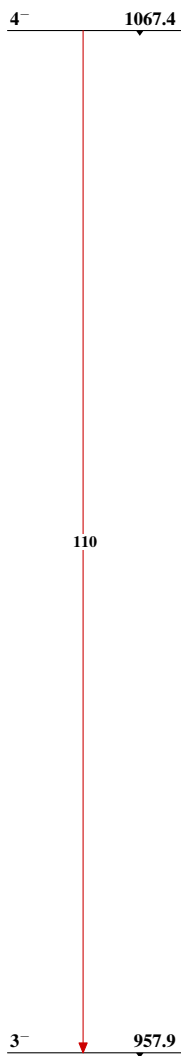
93

4 $^-$  751.73 $^-$  658.34 $^-$  788.2Band(N):  $K^\pi=6^-$ (6) $^-$  765.7Band(M):  $K^\pi=6^-$ (7) $^-$  725.2

161

(6) $^-$  563.9

$^{176}\text{Yb}(\text{p},\text{n}\gamma)$  1991Le28 (continued)Band(Q):  $K^\pi=2^+$ Band(P):  $K^\pi=5^-$ Band(O):  $K^\pi=5^-$ Band(S):  $K^\pi=3^+$ 

$^{176}\text{Yb}(\text{p},\text{n}\gamma)$  1991Le28 (continued)Band(U):  $K^\pi=3^-$ Band(V):  $K^\pi=4^-$ Band(W):  $K^\pi=4^+$ Band(Z):  $K^\pi=4^+$ Band(X):  $K^\pi=8^+$ Band(Y):  $K^\pi=7^+$ 